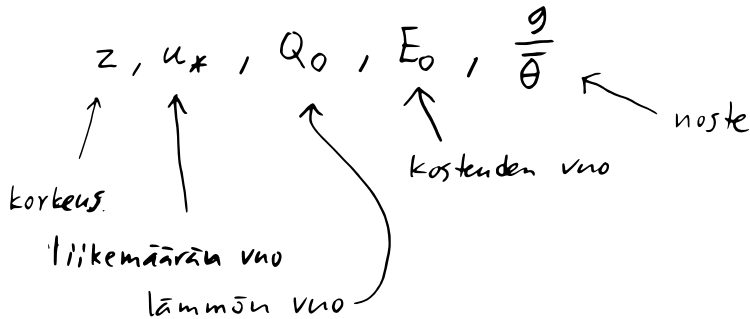


# Monin - Obukhov teoria

Joko "järkeillään" että virtaukset ominaisuudet tietyssä kohtaa riippuvat:



(Ajatellaan pintakerrosta, jossa vuot  $\sim$  vakioita)

Tai katsotaan asiaa kuvaavia luonnontekoisia,  
että mitkä termit asian vaikuttavat.

No, turbulentsin virtauksen kanssa on  
vähän ongelma, että osataanko kirjoittaa  
edes asiaa kuvaavat yhtälöt, mutta

katsotaan nyt vaikka 1.5-asteen sulkeuman

4. luennoista:

## 1.5 asteen sulkeminen

$$\frac{\partial \bar{u}}{\partial x} = f(\bar{v} - v_0) - \frac{\partial}{\partial z} \overline{u'w'}$$

$$\frac{\partial \bar{v}}{\partial x} = -f(\bar{u} - u_0) - \frac{\partial}{\partial z} \overline{v'w'}$$

$$\frac{\partial \bar{\theta}}{\partial x} = -\frac{\partial}{\partial z} \overline{w'\theta'}$$

$$\frac{\partial \bar{k}}{\partial x} = -\overline{u'w'} \frac{\partial \bar{u}}{\partial z} - \overline{v'w'} \frac{\partial \bar{v}}{\partial z} + \frac{g}{\theta} \overline{w'\theta'} - \frac{\partial}{\partial z} \left( \overline{kw'} + \frac{\overline{p'w'}}{\rho} \right) - \epsilon$$

$$\frac{\partial}{\partial x} \overline{\theta'^2} = -2 \overline{w'\theta'} \frac{\partial \bar{\theta}}{\partial z} - \frac{\partial}{\partial z} \overline{w'\theta'^2} - 2\epsilon_\theta - \epsilon_R$$

Kuiva ilmakehä,  $\bar{w} = 0$ ,  $\frac{\partial}{\partial x}, \frac{\partial}{\partial y} = 0$

löytyi:

liikemäärän vuo  $\overline{u'w'} \quad \overline{v'w'} \quad \sim u_*$

lämmön vuo  $\overline{\theta'w'} \quad \sim Q_0$

kosteden vuo  $\overline{q'w'} \quad \sim E_0$

(no tätä ei ollut kuivan ilman mallissa,  
mutta vastauksessa kostean ilman olisi)

noste  $= \frac{q}{\theta}$

Z pitää vain alytä mukaan kanssa

dissipantit unohtamme

Niin tai näin, saadaan suhteet

$$u_x = \sqrt{-u'w'}$$

$$H = \rho c_p \overline{\theta'w'} \quad \text{tai} \quad Q = \overline{\theta'w'}$$

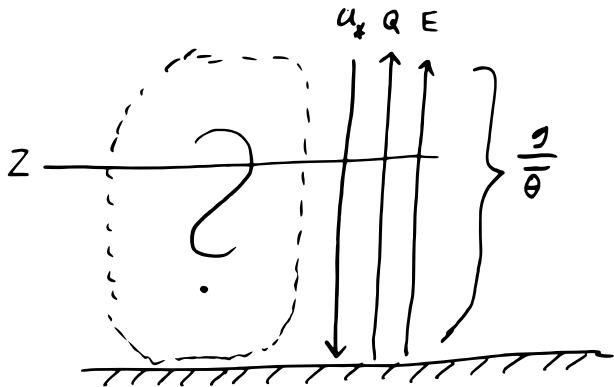
$$E = \rho g \overline{w'}$$

$$\frac{g}{\theta}$$

näiden kahden sijain  
vaihto ehdoisesti

$$\overline{\theta'w'}$$

Yritetään niing ratkoa asioita pintakerroksessa





Ajattellaan bivelekkaasti että dimensioittomut gradientit riippuvat skaalauksesta korkeudesta aina samalla tavalla

$$\frac{z}{u_*} \frac{\partial u}{\partial z} = \frac{1}{k} \phi_m(\zeta)$$

$$\zeta = \frac{z}{L}$$

$$\frac{z}{T_*} \frac{\partial \theta}{\partial z} = \frac{1}{k} \phi_h(\zeta)$$

$$\frac{z}{q_*} \frac{\partial q}{\partial z} = \frac{1}{k} \phi_n(\zeta)$$



# Huomautus

$$L = \frac{-\alpha_*^3 \frac{g}{\bar{\theta}_v}}{k \overline{w' \theta_v'}} \quad \text{tai} \quad \frac{-\alpha_*^3 T_0}{g \beta Q_0}$$

• lämmön vuo

Stabiilissa lämmön vuo  $< 0$ ,  $L > 0$

Epästabiilissa  $> 0$ ,  $L < 0$

Neutraalissa  $= 0$ ,  $L = \pm \infty$

## Toinenkin huomautus

Erittäin epästabiili

$$-100 \text{ m} < L < 0$$

epästabiili

$$-10^5 \text{ m} < L < -100 \text{ m}$$

neutraali

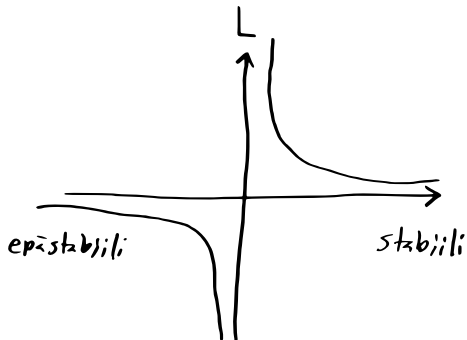
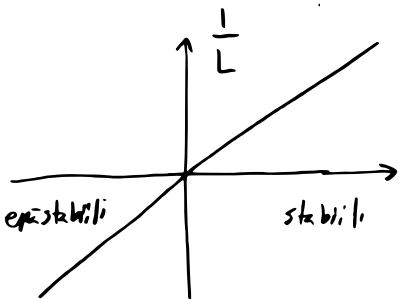
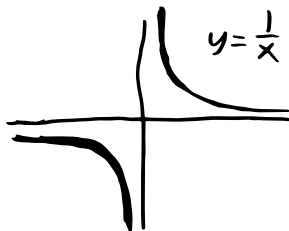
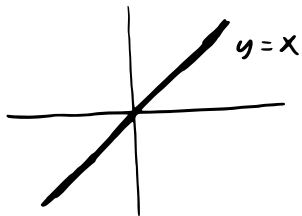
$$|L| > 10^5 \text{ m}$$

stabiili

$$10 \text{ m} < L < 10^5 \text{ m}$$

hyvin stabiili

$$0 < L < 10 \text{ m}$$



Universaali funktiot  $\phi_m$  ja  $\phi_h$

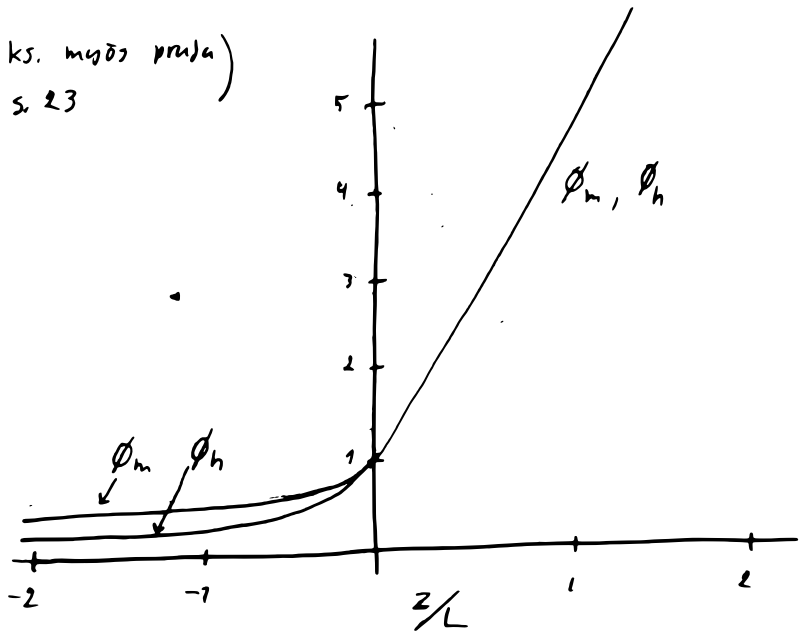
Businger-Dyer muoto

$$\phi_m(\zeta) = \begin{cases} 1 + 5\zeta & \text{kun } \zeta > 0 \text{ (stabiili)} \\ (1 - 16\zeta)^{-1/4} & \text{kun } \zeta < 0 \text{ (epästabiili)} \end{cases}$$

$$\phi_h(\zeta) = \begin{cases} 1 + 5\zeta & \text{kun } \zeta > 0 \\ (1 - 16\zeta)^{-1/2} & \text{kun } \zeta < 0 \end{cases}$$

Stabiilissa  $\phi_m = \phi_h$ , epästabiilissa  $\phi_m^2 = \phi_h$

(ks. myös puola)  
s. 23



Vieläkin huomantas

Vaihtokerroin määriteltiin

$$\overline{u'w'} = -K_m \frac{\partial u}{\partial z} \Rightarrow K_m = - \frac{\overline{u'w'}}{\frac{\partial u}{\partial z}}$$

Dimensioidun tuuligradien

$$\frac{z}{u_*} \frac{\partial u}{\partial z} = \frac{1}{k} \phi_m(\xi) \Rightarrow \frac{\partial u}{\partial z} = \frac{u_*}{z k} \phi_m(\xi)$$

$$K_m = \frac{u_*^2}{\frac{u_*}{z k} \phi_m(\xi)} = z k u_* \frac{1}{\phi_m(\xi)} \leftarrow \begin{array}{l} \phi_m(\xi) > 0 \text{ stabiilissa} \\ \phi_m(\xi) < 0 \text{ epästabiilissa} \end{array}$$

Takaisin asiaan, meillä siis oli

$$\frac{z}{u_*} \frac{\partial u}{\partial z} = \frac{1}{k} \phi_m(\xi)$$

$$\frac{z}{T_*} \frac{\partial \theta}{\partial z} = \frac{1}{k} \phi_h(\xi)$$

$$\frac{z}{q_*} \frac{\partial \theta}{\partial z} = \frac{1}{k} \phi_h(\xi)$$

ja univesaalifunktiolle  $\phi_m$ ,  $\phi_h$  on tunnetut muodot.

Voidaan siis ratkaista laskemalla. Käydään kuitenkin läpi askel askeleelta.

Merkittään sillä mitä tahansa suurella,

$$\frac{z}{s_*} \frac{\partial s}{\partial z} = \frac{1}{k} \phi_s(s)$$

$$s = u, \theta, q$$

$$s_* = u_*, T_*, q_*$$

$$\phi_s = \phi_m, \phi_h$$



$$\frac{\partial s}{\partial z} = \frac{s_*}{k z} \phi_s$$



$$\frac{\partial s}{\partial z} = \frac{s_*}{kz} \phi_s$$

$$\int_{z_1}^{z_2} \frac{\partial s}{\partial z} dz = \int_{z_1}^{z_2} \frac{s_*}{kz} \phi_s dz$$

$$s(z_2) - s(z_1) = \frac{s_*}{k} \int_{z_1}^{z_2} \frac{1}{z} \phi_s dz$$

Jos olisi  $\phi_s = 1$ , integraali lastemmalla saataisiin logaritminen tuloslaki. Muokataan hieman termiä  $\frac{1}{z} \phi_s \dots$

Termi  $\frac{1}{z} \phi_s$

Koska  $\phi_s$  kuvaa poikkeamaa (jos tilanne ei ole neutraali) logaritmisesta tuulilaista, kikkailaan termi sellaiseen muotoon että logaritminen tuulilaki ja poikkeama voidaan integroida erikseen:

$$\frac{1}{z} \phi_s = \frac{1}{z} (1 - |1 + \phi_s|) = \frac{1}{z} - \frac{1 - \phi_s}{z}$$

$$\begin{aligned}
s(z_2) - s(z_1) &= \frac{s_*}{k} \int_{z_1}^{z_2} \frac{1}{z} \phi_s \, dz \\
&= \frac{s_*}{k} \int_{z_1}^{z_2} \left( \frac{1}{z} - \frac{1 - \phi_s}{z} \right) dz \\
&= \frac{s_*}{k} \int_{z_1}^{z_2} \frac{1}{z} dz - \frac{s_*}{k} \int_{z_1}^{z_2} \frac{1 - \phi_s}{z} dz \\
&= \frac{s_*}{k} \ln \frac{z_2}{z_1} - \frac{s_*}{k} \int_{z_1}^{z_2} \frac{1 - \phi_s}{z} dz
\end{aligned}$$

Saatiin siis korjaustermi erilliseksi.

Korttaustermiin voisi tinki lastea suoraa aukki,  
mutta tapana on käyttää seuraavia apumerkintöjä:

$$\text{Määritellään: } \Psi_S(\xi) = \int_0^{\xi} \frac{1 - \phi_S(x)}{x} dx$$

Joten

$$\begin{aligned} \Psi_S(\xi_2) - \Psi_S(\xi_1) &= \int_0^{\xi_2} \frac{1 - \phi_S(x)}{x} dx - \int_0^{\xi_1} \frac{1 - \phi_S(x)}{x} dx \\ &= \int_0^{\xi_2} \frac{1 - \phi_S(x)}{x} dx + \int_{\xi_1}^0 \frac{1 - \phi_S(x)}{x} dx \\ &= \int_{\xi_1}^{\xi_2} \frac{1 - \phi_S(x)}{x} dx \end{aligned}$$

Muokataan vähän korjaustermiä:

$$\int_{z_1}^{z_2} \frac{1 - \phi(z)}{z} dz = \int_{z_1}^{z_2} \frac{1 - \phi_s\left(\frac{z}{L}\right)}{z} dz$$

Tehdään muuttujanvaihto  $\xi = \frac{z}{L}$ , eli  
 $z = \xi L$  ja  $\frac{dz}{d\xi} = L$ , eli  $dz = L d\xi$

$$= \int_{\xi_1}^{\xi_2} \frac{1 - \phi_s(\xi)}{\xi L} L d\xi = \int_{\xi_1}^{\xi_2} \frac{1 - \phi_s(\xi)}{\xi} d\xi$$

3 kalvoa aikaisemmin meillä oli:

$$s(z_2) - s(z_1) = \frac{s_k}{k} \ln \frac{z_2}{z_1} - \frac{s_k}{k} \int_{z_1}^{z_2} \frac{1 - \phi_s(\zeta)}{\zeta} dz$$

$$\rightarrow = \int_{\zeta_1}^{\zeta_2} \frac{1 - \phi_s(\zeta)}{\zeta} d\zeta = \Psi_s(\zeta_2) - \Psi_s(\zeta_1)$$

Eli saadaan:

$$s(z_2) - s(z_1) = \frac{s_k}{k} \left( \ln \frac{z_2}{z_1} - \Psi_s(\zeta_2) + \Psi_s(\zeta_1) \right)$$

(Meni 7 kalvoa, prosussa 1 rivi)

Korjauksen funktio  $\psi_s(\xi) = \int_0^{\xi} \frac{1 - \phi_s(x)}{x} dx$  (muistutukseksi)

Stabiilissa tilanteessa

$$\phi_m(\xi) = \phi_h(\xi) = 1 + 5\xi$$

Joten

$$\psi_m(\xi) = \psi_h(\xi) = -5\xi$$

$$\psi_3(s) = \int_0^s \frac{1 - \phi_3(x)}{x} dx \quad (\text{maistutuksiksi})$$

Epästabiilissa:

$$\phi_m(s) = (1 - 16s)^{-1/4}$$

$$\psi_m(s) = 2 \ln \frac{1+X}{2} + \ln \frac{1+X^2}{2} + \frac{\pi}{2} - 2 \tan^{-1} X$$

$$\text{missä } X = \frac{1}{\phi_m} = (1 - 16s)^{1/4}$$

$$\phi_h(s) = (1 - 16s)^{-1/2}$$

$$\psi_h(s) = 2 \ln \frac{1+Y}{2} \quad \text{missä } Y = \frac{1}{\phi_h} = (1 - 16s)^{1/2}$$



Kaikkiaan ollaan saatu:

$$u(z_2) - u(z_1) = \frac{u_*}{k} \left( \ln \frac{z_2}{z_1} - \Psi_m \left( \frac{z_2}{L} \right) + \Psi_m \left( \frac{z_1}{L} \right) \right)$$

$$\theta(z_2) - \theta(z_1) = \frac{T_*}{k} \left( \ln \frac{z_2}{z_1} - \Psi_h \left( \frac{z_2}{L} \right) + \Psi_h \left( \frac{z_1}{L} \right) \right)$$

$$q(z_2) - q(z_1) = \frac{q_*}{k} \left( \ln \frac{z_2}{z_1} - \Psi_h \left( \frac{z_2}{L} \right) + \Psi_h \left( \frac{z_1}{L} \right) \right)$$

Laitetaan integrointirajoiksi u:lle:

$$z_2 = z, \quad z_1 = z_0 \text{ (roskoisuusparametri)}$$

$$\text{joten } u(z_0) = 0$$

integrointi rajat  $\theta$ :lle:

$$z_2 = z, \quad z_1 = z_{0h} \quad \text{sitä että}$$

$\theta(z_{0h})$  vastaa pintalämpötilaa  $\theta_0$

$q$ :lle:

$$z_2 = z, \quad z_1 = z_{0q} \quad \text{sitä että}$$

$q(z_{0q})$  vastaa pintakosteutta  $q_0$

Sarjaan muotooni:

$$u(z) = \frac{u_x}{k} \left[ \ln \frac{z}{z_0} - \psi_m \left( \frac{z}{L} \right) + \psi_m \left( \frac{z_0}{L} \right) \right]$$

$$\theta(z) - \theta_0 = \frac{T_x}{k} \left[ \ln \frac{z}{z_{0h}} - \psi_h \left( \frac{z}{L} \right) + \psi_h \left( \frac{z_{0h}}{L} \right) \right]$$

$$q(z) - q_0 = \frac{q_x}{k} \left[ \ln \frac{z}{z_{0q}} - \psi_h \left( \frac{z}{L} \right) + \psi_h \left( \frac{z_{0q}}{L} \right) \right]$$

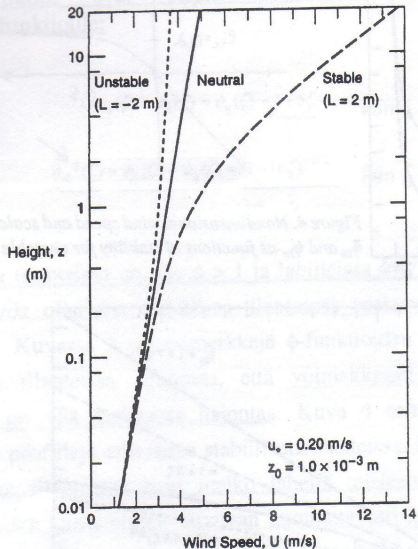
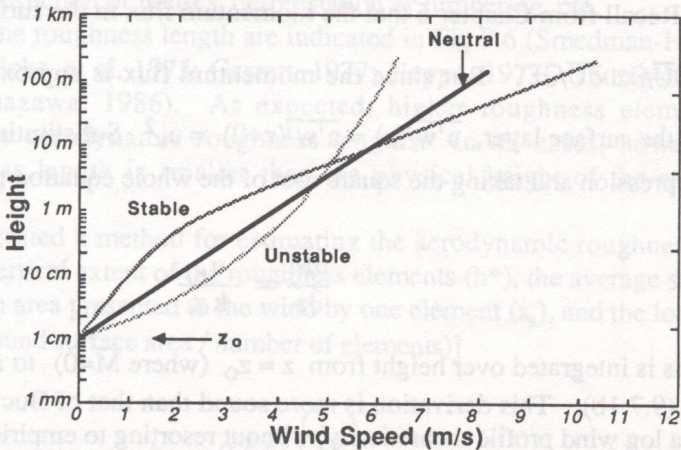


Figure 6. Sample wind speed profiles. Conditions are as labeled. The  $\psi_m$  in eq 97 is based on the Businger-Dyer form (eq 79 and Figure 4) for the unstable case and on the Dutch formulation (eq 83 and Figure 5) for the stable case.

**Fig. 9.5**  
Typical wind speed profiles vs. static stability in the surface layer.



### 9.7.1 Wind Profile in Statically Neutral Conditions

Tuulelle on 2 eri muotoa:

$$u(z) = \frac{u_x}{k} \left[ \ln \frac{z}{z_0} - \psi_m \left( \frac{z}{L} \right) + \psi_m \left( \frac{z_0}{L} \right) \right]$$

tai:

$$u(z_2) - u(z_1) = \frac{u_x}{k} \left[ \ln \frac{z_2}{z_1} - \psi_m \left( \frac{z_2}{L} \right) + \psi_m \left( \frac{z_1}{L} \right) \right]$$

Jälkimmäisessä, ei tarvitse tietää vooisuuntaa  $z_0$ .

Jos tiedetään  $u(z_2)$  ja  $u(z_1)$  (ja  $z_2$  ja  $z_1$ )

ja  $L$ , voidaan ratkaista  $u_x$ .

Samoin  $\theta$ :n ja  $q$ :in kanssa

$$\theta(z_2) - \theta(z_1) = \frac{T_*}{k} \left[ \ln \frac{z_2}{z_1} - \psi_h \left( \frac{z_2}{L} \right) + \psi_h \left( \frac{z_1}{L} \right) \right]$$

$$q(z_2) - q(z_1) = \frac{q_*}{k} \left[ \ln \frac{z_2}{z_1} - \psi_h \left( \frac{z_2}{L} \right) + \psi_h \left( \frac{z_1}{L} \right) \right]$$

Jos on mitattu  $\theta$  ja  $q$  kahdelta korkeudesta ( $z_2 < z_1$ ) ja jos tiedettäisiin  $L$ , voitaisiin ratkaista  $T_*$  ja  $q_*$ .

Käytännössä voidaan tehdä niin että arvataan aluksi jokin  $L^{(1)}$ , jos ei muuta keksi niin

$L^{(1)} = \infty$ , ja siten käyttäen ratkaistaan  $u_x^{(1)}$ ,  $T_x^{(1)}$ ,  $q_x^{(1)}$  joista lasketaan uusi  $L^{(2)}$ , jonka avulla uudet  $u_x^{(2)}$ ,  $T_x^{(2)}$ ,  $q_x^{(2)}$  jne.

Toivotaan että laskenta konvergoi.

Näin saadaan  $u_x$ ,  $T_x$ ,  $q_x$  ja  $L$ .



Edelleenkin ei tunneta

$$\theta_0, z_{0h}, q_0, z_{0q}$$

mutta voidaan sopia että

$$z_{0h} = z_{0q} = z_1$$

$$\theta_0 = \theta(z_1)$$

$$q_0 = q(z_1)$$

Nyt tiedetään kaikki ja päästään piirtämään

$\theta$ :n ja  $q$ :n pystyprofiilit.

Profiileja piirtäessä pitää ottaa huomioon millä korkeudella  $z_1$  oli. Profiileista voi sitten (jatkaamalla niitä  $z_1$ :n alapuolelle) katsoa mitä  $\theta$  ja  $q$  ovat lähempänä pintaa.

Samaoin tunnelle, jos  $u_x$  ja  $L$  ja  $u(z_2)$  ja  $u(z_1)$  tunnetaan, voidaan etsiä  $z_0$  jossa  $u(z_0) = 0$ .



Jos mittauksia on useammalta kuin 2 eri korkeudelta, pitää sovittaa käyriä dataan.

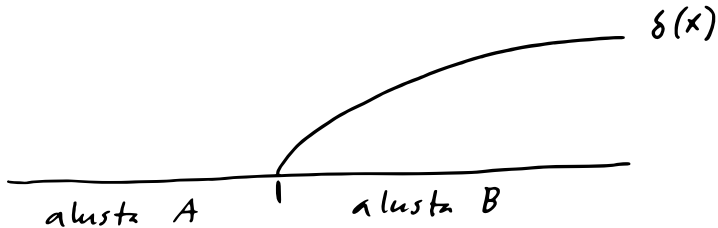
Tuntemattomia ovat  $u_x$ ,  $T_x$ ,  $q_x$ .

$L$  on niiden funktio.

Oikeastaan kaikki 3 käyrä (tilastollinen malli) pitäisi sovittaa dataan yhtä aikaa.

## Sisäinen raja kerros

Kun tuuli puhaltaa alustalta toiselle



Alustat eroavat rosoisuuden, lämpötilan ja/tai kosteuden suhteen.